

# Bis[tris(trimethylsilyl)methyl]diselenid: Ein ungewöhnliches Dichalkogenid mit sterisch erzwungener *trans-C<sub>2h</sub>*-Konformation<sup>1)</sup>

Irle Wagner, Wolf-Walther du Mont\*, Siegfried Pohl und Wolfgang Saak

Fachbereich Chemie der Universität,  
Carl-von-Ossietzky-Straße 9–11, D-2900 Oldenburg

Eingegangen am 5. Juni 1990

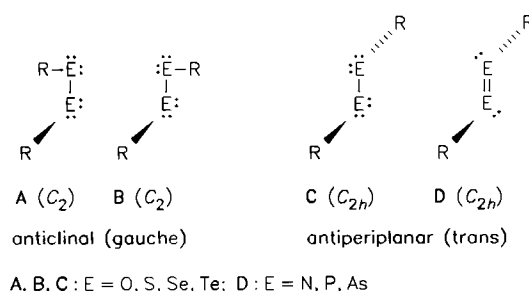
**Key Words:** Diselenide, torsion angle / NMR, <sup>77</sup>Se / Selenenyl halide

## Bis[tris(trimethylsilyl)methyl] Diselenide: An Unusual Diselenide with Sterically Enforced *trans-C<sub>2h</sub>* Conformation<sup>1)</sup>

Deselenation of bis[tris(trimethylsilyl)methyl] triselenide (**1**) with copper occurs with formation of bis[tris(trimethylsilyl)methyl] diselenide (**2**) and minor amounts of 3,3,5,5-tetrakis(trimethylsilyl)-1,2,4-triselenolane (**3**). The structures of **2** and **3** have been studied by multinuclear NMR spectroscopy and by

X-ray crystallography. The C–Se–Se–C moiety of **2** adopts an unusual antiperiplanar conformation. Cleavage of the Se–Se bond by iodine providing iodo[tris(trimethylsilyl)methyl]selane (**5**) is complete with **2**, but reversible with **1**.

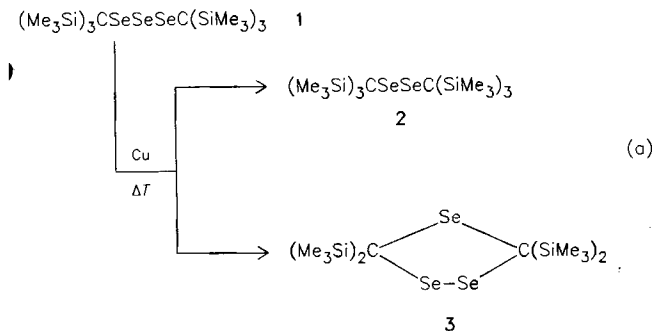
Organische Peroxide, Disulfide, Diselenide und Ditelluride REER (E = O, S, Se, Te) existieren in der Regel in den beiden nichtebenen enantiomeren Konformationen **A**, **B**.



Die um zwei Valenzelektronen ärmeren Azo-Verbindungen, Di-phosphene und Diarsene nehmen hingegen bevorzugt antiperiplanare Konformationen **D** (*trans*,  $C_{2h}$ ) ein. Bildung und Beständigkeit derartiger Moleküle mit P=P- und As=As-Bindungen werden bekanntlich durch sterisch anspruchsvolle Substituenten wie R = 2,4,6-Tri-*tert*-butylphenyl<sup>2)</sup> begünstigt. Derselbe sperrige Aryl-Substituent beläßt Dichalkogenide REER<sup>3–5)</sup> in enantiomeren antiperiplanaren Konformationen **A**, **B** und führt dabei sogar zu besonders großen Aktivierungsenthalpien für die Enantiomereninterkonversion **A** ⇌ **B**, in deren Verlauf energiereichere *trans-C<sub>2h</sub>*-Konformationen **C** zu überwinden sind<sup>3,4)</sup>.

Bemerkenswert anders als 2,4,6-Tri-*tert*-butylphenyl-Substituenten („Supermesityl“) verhalten sich Tris(trimethylsilyl)methyl-Gruppen („TrisyI“) an der Selen–Selen-Bindung. Mit diesen sperrigen Alkyl-Gruppen ließ sich jetzt erstmals ein Dialkyldiselenid in die sonst energiereichere antiperiplanare Konformation **C** zwingen<sup>6)</sup>. Erhitzt man Ditrisyltriselenid (**1**) längere Zeit mit Kupfer-Pulver, so erhält man in mäßiger Ausbeute Ditrisyldiselenid (**2**) neben geringen Mengen an 3,3,5,5-Tetrakis(trimethylsilyl)-1,2,4-triselenolan (**3**) [Gl. (a)]. Die gelben Kristalle des Heterocyclus **3** lassen sich von dem roten Diselenid **2** leicht farblich und spektroskopisch unterscheiden; an beiden Verbindungen wurden Einkristall-Röntgenstrukturanalysen durchgeführt<sup>8)</sup>. Das Triselenolan **3** enthält die C–Se–Se–C-Diselenid-Einheit in einer für derartige Ringsysteme

charakteristischen nichtebenen Konformation (Torsionswinkel C–Se–Se–C 48.4°), und mit einem normalen Se–Se-Abstand [ $d$  = 232.8 pm [Abb. 1].



Das rote Diselenid **2** unterscheidet sich hingegen von gewöhnlichen Dialkyldiseleniden bezüglich Farbe, Konformation und Se-

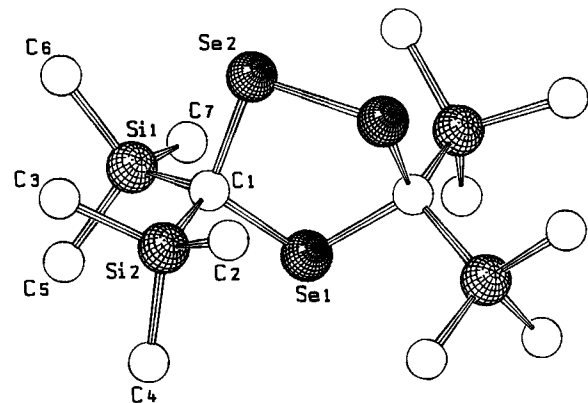


Abb. 1. Struktur von **3** im Kristall ( $C_2$ -Symmetrie; ohne H-Atome); ausgewählte Bindungslängen [pm] und -winkel [°]: Se2–Se2' 232.8(1), C1–Se1 201.8(5), C1–Se2 197.6(5), C1–Se2–Se2' 96.8(2), C1–Se1–C1' 106.0(2), Se1–C1–Se2 107.5(2)

len—Selen-Abstand (Abb. 2). **2** ist erstaunlicherweise isotyp mit dem um zwei Valenzelektronen ärmeren Ditrisyldiarsen (**4**)<sup>9)</sup>. Ebenso wie die Einheit C—As=As—C von **4** ist das Gerüst C—Se—Se—C von **2** antiperiplanar angeordnet (Torsionswinkel 180°, Schema 1). Es handelt sich um das erste *trans*-Dialkyldiselenid<sup>10)</sup>. Ditrisyldiselenid (**2**) und Ditrisyldiarsen (**4**) gleichen sich weitgehend bezüglich Konformation und Winkeln (C—Se—Se 105°, C—As—As 106°) (Schema 1).

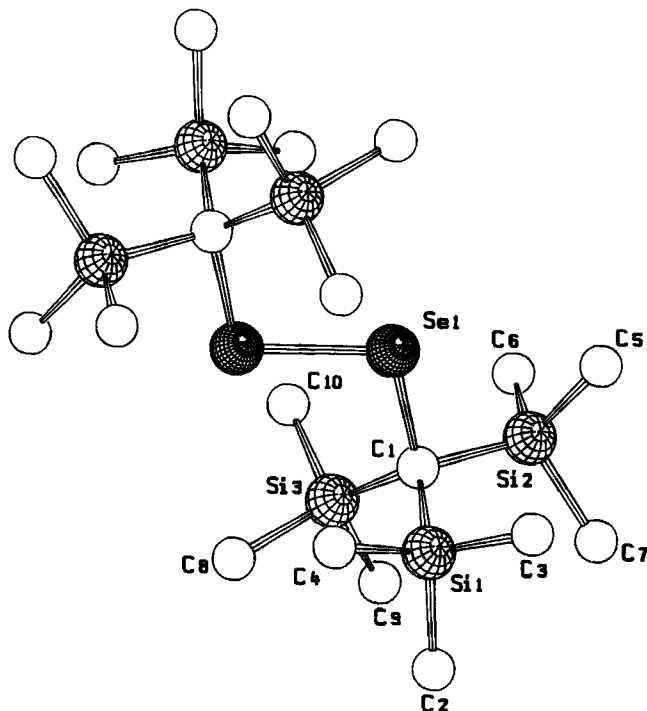
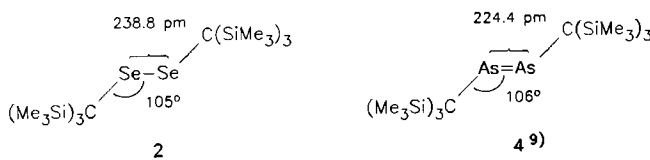


Abb. 2. Struktur von **2** im Kristall ( $C_1$ -Symmetrie; ohne H-Atome); ausgewählte Bindungslängen [pm] und -winkel [ $^\circ$ ]: Se1—Se1' 238.8(1), C1—Se1 200.4(4); C1—Se1—Se1' 105.4(2) (abgebildet ist das nicht fehlgeordnete Molekül, s. Exp. Teil)

Schema 1



Die Arsen-Atome der As=As-Bindung von **4** nähern sich auf 224.4 pm, aber der Se—Se-Abstand ist im *trans*-Diselenid **2**, verglichen mit Werten von gewöhnlichen Diseleniden  $R_2Se_2$  (wie **3**), um 4–5 pm aufgeweitet. Der Vergleich mit **4** legt nahe, daß ein kurzer („normaler“) Se—Se-Abstand bei **2** räumlich durchaus möglich wäre<sup>11,12)</sup>. Die mit antiperiplanarer Konformation und Aufweitung verbundene Destabilisierung der Selen—Selen-Bindung von **2** erlaubt nun zu verstehen, warum diese Verbindung als bisher einziges Molekül mit Se—Se-Bindung durch Iod quantitativ zu Molekülen mit kovalenter Se—I-Bindung (wie **5**) gespalten wird<sup>13)</sup>. Umgekehrt liefert die Reaktion von Iod[tris(trimethylsilyl)methyl]-selan **5** mit Selen im Dismutationsgleichgewicht neben molekularem Iod Ditrisyldiselenid (**1**), nicht aber das energiereiche Diselenid **2**.



Die Destabilisierung der Se—Se-Bindung von **2** aufgrund einer sterisch erzwungenen antiperiplanaren Konformation lässt **2** als interessantes Iod-ähnliches, aber zugleich sperriges Edukt für Redoxreaktionen erscheinen.

## Experimenteller Teil

**Bis[tris(trimethylsilyl)methyl]diselenid (**2**) und 3,3,5,5-Tetrakis(trimethylsilyl)-1,2,4-triselenolan (**3**):** Eine Lösung von 3.5 g (5 mmol) **1** in 50 ml Dioxan wird mit 0.68 g (10.7 mmol) Kupfer-Pulver versetzt und 3 d bei 80–90°C gerührt. Nach Zugabe weiterer 0.35 g (5.5 mmol) Kupfer-Pulver und weiteren 4 d bei 80–90°C wird das Reaktionsgemisch zur Trockne eingeengt und der Rückstand mit Petrolether (Siedebereich 40–60°C) behandelt. Kristallisation bei –25°C liefert weinrotes **2** (1.44 g, 46%). Zugleich entstandene gelbe Kristalle von **3** (ca. 0.15 g, < 5%) werden mit Hilfe eines Spatels aussortiert.

**2:** Schmp. 203°C. — UV/Vis (Cyclopentan):  $\lambda(\lg \epsilon) = 235(4)$  nm, 469 (2). —  $^1\text{H-NMR}$  (300 MHz,  $\text{C}_6\text{D}_6$ ):  $\delta = 0.37$ . —  $^{13}\text{C-NMR}$  (75.74 MHz,  $\text{C}_6\text{D}_6$ ):  $\delta = 3.77(\text{SiCH}_3)$ , 15.07 ( $\text{SeCSi}_3$ ). —  $^{77}\text{Se-NMR}$  (57.24 MHz,  $\text{C}_6\text{D}_6$ ):  $\delta = 394$ . — MS (EI, 70 eV):  $m/z$  (%): 622 (3) [ $\text{M}^+$ ], 311 (11) [ $\text{M}/2^+$ ], 223 (48) [ $\text{M}/2^+ - \text{Me}_3\text{Si}$ ], 201 (50) [ $\text{M}/2^+ - \text{Me}_2\text{Se}$ ], 85 (33) [ $\text{C}_4\text{H}_8\text{Si}^+$ ], 73 (100) [ $\text{Me}_3\text{Si}^+$ ].

$\text{C}_{20}\text{H}_{54}\text{Se}_2\text{Si}_6$  (621.1) Ber. C 38.68 H 8.77 Gef. C 38.49 H 8.61

**3:** Schmp. 159°C. —  $^1\text{H-NMR}$  (300 MHz,  $\text{C}_6\text{D}_6$ ):  $\delta = 0.31$ . —  $^{13}\text{C-NMR}$  (75.74 MHz,  $\text{C}_6\text{D}_6$ ):  $\delta = 2.54(\text{SiCH}_3)$ , 46.11 ( $\text{Se}_2\text{CSi}_2$ ). —  $^{77}\text{Se-NMR}$  (57.24 MHz,  $\text{C}_6\text{D}_6$ ):  $\delta = 686(\text{CSeC})$ , 704 ( $\text{SeSe}$ ). — MS (EI, 70 eV):  $m/z$  (%): 544 (1) [ $\text{M}^+$ ], 403 (10) [ $\text{M}^+ - \text{Me}_3\text{SiSe}$ ], 318 (6) [ $\text{M}^+ - (\text{Me}_3\text{Si})_2\text{CSe}$ ], 238 (16) [ $[(\text{Me}_3\text{Si})_2\text{Se}]^+$ ], 223 (28) [ $(\text{Me}_3\text{Si})_2\text{CSe}^+ - \text{CH}_3$ ], 165 (28) [ $\text{Me}_3\text{SiCSe}^+$ ], 73 (100) [ $\text{Me}_3\text{Si}^+$ ].

$\text{C}_{14}\text{H}_{36}\text{Se}_3\text{Si}_4$  (553.7) Ber. C 30.37 H 6.56 Se 42.78

Gef. C 30.29 H 6.51 Se 42.55

**Röntgenstrukturanalyse von **2****<sup>14)</sup>: Triklin,  $P\bar{1}$  (Nr. 2);  $Z = 2$ ;  $a = 914.8(1)$ ,  $b = 1264.6(1)$ ,  $c = 1548.2(1)$  pm;  $\alpha = 109.84(1)$ ,  $\beta = 90.00(1)$ ,  $\gamma = 91.62(1)$ °;  $\rho_{\text{ber.}} = 1.224 \text{ g/cm}^3$ ; Vierkreisdiffraktometer Siemens Stoe AED 2 (Graphit-Monochromator, Szintillationszähler,  $\text{Mo-K}_\alpha$ );  $\omega$ - $2\Theta$ -Scan; 5552 symmetrieeunabhängige Reflexe, davon 4609 beobachtet mit  $I > 2\sigma(I)$ ; empirische Absorptionskorrektur im  $\psi$ -Scan; Strukturlösung mit Direkten Methoden; Verfeinerung mit voller Matrix (277 Variable);  $R = 0.047$ ,  $R_w = 0.047$ ,  $w = k/[F_o^2 + g \cdot F_c^2]$  mit  $g = 0.0002$ . Die H-Atome an den nicht fehlgeordneten C-Atomen wurden an berechneten Positionen mit konstanten Parametern in die Verfeinerung einbezogen. Die fehlgeordneten Si- und C-Atome sowie die zugehörigen Besetzungs faktoren sind in Tab. 1 aufgeführt.

**2** enthält zwei Moleküle in der Elementarzelle, deren Schwerpunkte jeweils auf Inversionszentren liegen. Es ergeben sich somit zwei voneinander unabhängige Molekülhälften. Nur eines der beiden Moleküle besitzt die in Tab. 1 gekennzeichnete Fehlordnung der Trimethylsilyl-Gruppen.

**Röntgenstrukturanalyse von **3****<sup>14)</sup>: Monoklin,  $C2/c$  (Nr. 15);  $Z = 4$ ;  $a = 1747.7(2)$ ,  $b = 647.7(1)$ ,  $c = 2263.0(2)$  pm;  $\beta = 113.79(1)$ °;  $\rho_{\text{ber.}} = 1.506 \text{ g/cm}^3$ ; Diffraktometer, Meßroutine und Absorptionskorrektur wie bei **2**; 2000 symmetrieeunabhängige Reflexe, davon 1668 beobachtet mit  $I > 2\sigma(I)$ ; Strukturlösung und Verfeinerung

## Bis[tris(trimethylsilyl)methyl]diselenid

Tab. 1. Atomkoordinaten ( $\times 10^4$ ) und äquivalente isotrope bzw. isotrope<sup>a)</sup> Temperaturparameter [ $\text{pm}^2$ ] von **2** und **3**

Atom	x	y	z	$U(\text{eq})/\text{B}$
<b>2:</b> Se(1)	148(1)	4635(1)	9187(1)	51(1)
Si(1)	2556(2)	2877(1)	9075(1)	49(1)
Si(2)	-70(2)	2492(1)	7620(1)	53(1)
Si(3)	-689(2)	2311(1)	9579(1)	54(1)
C(1)	509(5)	2994(4)	8889(3)	37(2)
C(2)	3023(7)	1429(5)	9012(4)	77(3)
C(3)	3684(7)	3200(7)	8188(5)	92(4)
C(4)	3259(6)	3869(5)	10195(4)	65(3)
C(5)	526(7)	3486(5)	7018(4)	70(3)
C(6)	-2114(7)	2357(7)	7489(4)	86(3)
C(7)	744(9)	1104(5)	6974(4)	81(3)
C(8)	118(7)	2488(5)	10728(4)	74(3)
C(9)	-887(8)	750(5)	8969(4)	82(3)
C(10)	-2561(6)	2882(6)	9785(4)	74(3)
Se(2)	4755(1)	4126(1)	5117(1)	55(1)
Si(4A)	7256(2)	2732(1)	3906(1)	45(1)
Si(4B)	7026(12)	3217(9)	3410(7)	85(3)
Si(5A)	4089(2)	1716(1)	4077(1)	49(1)
Si(5B)	5329(13)	1665(10)	4314(7)	87(3)
Si(6A)	4496(2)	3292(1)	2885(1)	52(1)
Si(6B)	3634(15)	2791(12)	3072(9)	105(4)
C(11)	5196(5)	2935(3)	3917(3)	38(2)
C(12)	7850(7)	1811(5)	2734(4)	73(3)
C(13)	8384(7)	4073(6)	4212(5)	83(3)
C(14A)	7823(10)	2078(9)	4785(6)	88(5)
C(14B)	6635(39)	4973(33)	2587(25)	66(10)
C(15)	4797(9)	309(5)	3302(4)	81(3)
C(16)	4156(10)	1705(6)	5286(5)	106(4)
C(17A)	2078(9)	1784(10)	3889(8)	105(6)
C(17B)	7289(41)	1572(32)	4794(25)	69(10)
C(18)	4231(8)	1927(5)	1850(4)	80(3)
C(19A)	5788(12)	4197(7)	2504(5)	78(4)
C(19B)	1915(47)	1979(35)	3467(26)	77(12)
C(20)	2734(8)	4054(6)	3092(5)	95(4)
<b>3:</b> Se(1)	0	560(1)	2500	46(1)
Se(2)	-373(1)	5012(1)	2826(1)	51(1)
Si(1)	-935(1)	1476(2)	3406(1)	47(1)
Si(2)	1047(1)	2454(3)	3906(1)	49(1)
C(1)	-16(3)	2359(7)	3207(2)	40(2)
C(2)	1845(4)	4009(12)	3765(3)	74(3)
C(3)	920(4)	3618(11)	4609(3)	64(3)
C(4)	1476(5)	-109(11)	4124(4)	77(4)
C(5)	-605(4)	-694(10)	3962(3)	73(3)
C(6)	-1284(4)	3487(10)	3807(3)	70(3)
C(7)	-1851(4)	694(11)	2676(3)	69(3)

<sup>a)</sup> Äquivalente isotrope  $U$  definiert als ein Drittel der Spur des orthogonalen  $U_{ij}$ -Tensors. Die mit A und B bezeichneten Atome in **2** sind fehlgeordnet. A: Besetzungsfaktor 0.8; B: Besetzungsfaktor 0.2 (nur isotrop verfeinert)

wie bei **2** (96 Variable);  $R = 0.041$ ,  $R_w = 0.039$ , w wie bei **2**. Die H-Atome wurden an berechneten Positionen mit konstanten Parametern in die Verfeinerung einbezogen.

## CAS-Registry-Nummern

1: 103483-29-0 / 2: 116302-65-9 / 3: 128779-99-7 / 5: 116302-66-0

- <sup>1)</sup> Eigenschaften von Chalkogen-Chalkogen-Bindungen, XIV. – XIII. Mitteilung: W.-W. du Mont, A. Martens, S. Pohl, W. Saak, *Inorg. Chem.*, im Druck.
- <sup>2)</sup> M. Yoshifiji, I. Shima, N. Inamoto, K. Hirotsu, T. Higuchi, *J. Am. Chem. Soc.* **103** (1981) 4587.
- <sup>3)</sup> H. Kessler, W. Rundel, *Chem. Ber.* **101** (1968) 3350.
- <sup>4)</sup> W.-W. du Mont, L. Lange, H. H. Karsch, K. Peters, E. M. Peters, H. G. von Schnering, *Chem. Ber.* **121** (1988) 11.
- <sup>5)</sup> Bis(2,4,6-tri-tert-butylphenyl)peroxid ist instabil; 1,2-Bis(2,4,6-tri-tert-butylphenyl)ethan liegt in antiklinaler Konformation ( $C_2$ ) vor, Torsionswinkel  $119.9^\circ$ ,  $\Delta G^+ = 13 \text{ kcal} \cdot \text{mol}^{-1}$ : W. Winter, T. Butters, A. Riecker, *Z. Naturforsch., Teil B*, **37** (1982) 855, und Lit.<sup>4)</sup>; M. A. Cremonini, L. Lunazzi, G. Placucci, R. Okazaki, G. Yamamoto, *J. Am. Chem. Soc.* **112** (1990) 2915.
- <sup>6)</sup> EHMO-Rechnungen zu den Konformationen von  $(\text{CH}_3)_2\text{Se}_2$ : G. Tschmutowa, H. Bock, *Z. Naturforsch., Teil B*, **31** (1976) 1616.
- <sup>7)</sup> F. Sladky, B. Bildstein, C. Rieker, H. Betz, H. Hübner, A. Gieren, *J. Chem. Soc., Chem. Commun.* **1985**, 1800.
- <sup>8)</sup> Strukturen gewöhnlicher Diselenide: I. Hargittai, B. Rozsondai, in: *The Chemistry of Organic Selenium and Tellurium Compounds*, Bd. 1 (S. Patai, Z. Rappoport, Eds.), Kap. 3, S. 63ff., Wiley, Chichester – New York – Brisbane – Toronto – Singapore 1986.
- <sup>9)</sup> A. H. Cowley, N. C. Norman, M. Pakulski, *J. Chem. Soc., Dalton Trans.* **1985**, 383.
- <sup>10)</sup> Planare C – Sc – Se – Se – C- und C – Se – Se – C-Einheiten unter dem Einfluß chelatisierender Thio- oder Selenoacyl-Gruppen: S. Esperás, S. Husebye, A. Rolandsen, *Acta Chim. Scand., Ser. A*, **29** (1975) 608; R. O. Gould, C. L. Jones, W. J. Savage, T. A. Stephenson, *J. Chem. Soc., Dalton Trans.* **1976**, 908; W. Dietzsch, J. Sieler, W. Meiler, W. Robien, *Phosphorus Sulfur* **38** (1988) 293.
- <sup>11)</sup> Der P = P-Abstand in  $[(\text{Me}_3\text{Si})_2\text{C}]_2\text{P}_2$  beträgt 201 pm, der Winkel C – P – P  $108 - 109^\circ$ : A. H. Cowley, J. E. Kilduff, N. C. Norman, M. Pakulski, J. L. Atwood, W. E. Hunter, *J. Am. Chem. Soc.* **105** (1983) 4845.
- <sup>12)</sup> In  $[(\text{Me}_3\text{Si})_2\text{C}]_2\text{Te}_2$  ist die Te – Te-Bindung ebenfalls bemerkenswert aufgeweitet (278.3 pm): F. Sladky, unveröffentlichte Ergebnisse.
- <sup>13)</sup> W.-W. du Mont, I. Wagner, *Chem. Ber.* **121** (1988) 2109. Entsprechend liefert **2** mit  $\text{Br}_2$   $(\text{Me}_3\text{Si})_3\text{CSeBr}$  (**6**), mit  $\text{SOCl}_2$   $(\text{Me}_3\text{Si})_3\text{CSeCl}$  (**7**) in 95 – 98 proz. Ausbeute. Reines **6** und **7** wurden durch MS- und  $^1\text{H}$ -,  $^{13}\text{C}$ -,  $^{77}\text{Se}$ -NMR-Daten sowie  $\text{C}, \text{H}, \text{Se}$ -Analysen charakterisiert: I. Wagner, *Dissertation*, Univ. Oldenburg, 1990.
- <sup>14)</sup> Programme: G. M. Sheldrick, *SHELX-76, Program for Crystal Structure Determination*, Cambridge, England (1976); *SHELXS-86*, Göttingen (1986). – Zeichnungen: E. Keller, *SCHAKAL-86*, Freiburg (1986). – Weitere Einzelheiten zu den Kristallstrukturuntersuchungen können beim Fachinformationszentrum Karlsruhe, Gesellschaft für wissenschaftlich-technische Information mbH, D-7514 Eggenstein-Leopoldshafen 2, unter Angabe der Hinterlegungsnummer CSD-54877, der Autorennamen und des Zeitschriftenzitats angefordert werden.

[193/90]